

動吸振器による吊橋の防振について

東北工業大学 正員・山田俊次、正員 高橋 龍夫

機械の支持台や構造物の有害な振動を防止するためには、タイナミックターンバーあるいはTMD (Tuned Mass Damper)と云われるエネルギー吸収機構が用いられている例は多い。米国においては、高層ビルの風による振動を、最上階に設けられた水槽の重り重量を利用してT.M.Dを作り、防止している例が數々あり、ユーズス炉の耐震装置として、一種のターンバーが用いられている実例もある。しかし、これら等のエネルギー吸収機構は、かなりマッシュアップなものであり、その解析はあたって、構造物や機械を1自由度とし、複点系に置換し、全序として2自由度の振動系として扱われることが多い。このような解析方法における解を修正して簡便ではあるが、是れも、是れらの振動性状の一部を解析することは出来ておらず、振動性状全体を解析することは出来ない。筆者等は、吊橋等の可接性の高い構造物の防振と、質量、スピリットおよびゲッジホルト機構より成る動吸振器を用いて行なうことと提唱し、その効果の実証につれての研究成果を発表して来た。可接性の高い構造物であればある程、エネルギー吸収機構の影響を全く受け難く、防振及び制振効果が著しい反面、振動性状の変化も大きくなると考えられる。

本研究は、可接性の高い構造物の一例として、Fig. 1 に示されたような單径間吊橋を取りあげ、この吊橋の理論解と導くと同時に、模型実験を行ない、動吸振器による吊橋の振動制御につれて考察を加えようとするものである。

3. 動吸振器は、2台対称に設

置されるとし、動吸振器の質量、ばね係数および粘性係数を M 、 K および C とする。

補剛筋の曲げ剛性を EI 、等分布質量を m 、配荷重によると、ケーブルの水平反力を Hw 、振動たわみ γ 、ケーブルの付加張力を h とすれば、吊橋の振動(鉛直たわみ振動)の運動方程式は、2つの動吸振器の運動方程式と連立させた次のようになります。

$$EI \frac{\partial^2 Y}{\partial X^2} + m \frac{\partial^2 Y}{\partial T^2} - (Hw - h) \frac{\partial Y}{\partial X} + \frac{1}{EI} h + \sum C_i \left[\frac{\partial Y}{\partial t} - \frac{\partial y_i}{\partial t} \right] d(x-x_i) + \sum K_i (Y - y_i) d(x-x_i) = 0.$$

$$M \frac{dy_1}{dt} - C \left[\frac{dy_1}{dt} - \frac{dy_2}{dt} \right] - K (y_1 - y_2) = 0$$

$$M \frac{dy_2}{dt} + C \left[\frac{dy_1}{dt} - \frac{dy_2}{dt} \right] + K (y_2 - y_1) = 0$$

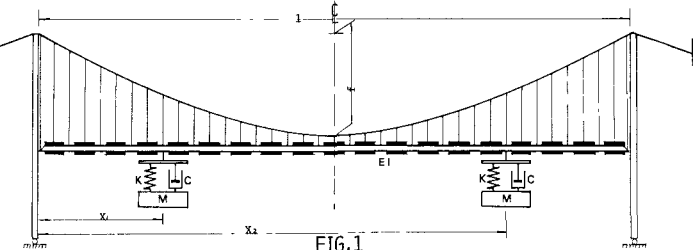


FIG. 1

この方程式をラプラス変換法を用いて解くと次のような特性方程式が得られます。^{*} ただし、ケーブルの付加張力 h は $Hw/2$ で比較的小く、特に逆共振動では作用しないためこれを0とおいた。

$$D = D_1 \times D_4 - D_2 \times D_3$$

$$\text{但し, } D_1 = \sinh \alpha t - (\gamma/\alpha) \sinh \gamma t - G_1 \{ \sinh \alpha(t-\omega/\gamma) \sinh \gamma(t-\omega/\gamma) \} - G_2 \{ B_1 \{ \sinh \alpha(t-x_1) - (\alpha/\gamma) \sinh \gamma(t-x_1) \} + B_3 \{ \sinh \alpha(t-x_2) - (\alpha/\gamma) \sinh \gamma(t-x_2) \} \}$$

$$D_2 = \sinh \alpha t - (\alpha/\gamma) \sinh \gamma t - G_2 \{ B_2 \{ \sinh \alpha(t-x_1) - (\alpha/\gamma) \sinh \gamma(t-x_1) \} + B_4 \{ \sinh \alpha(t-x_2) - (\alpha/\gamma) \sinh \gamma(t-x_2) \} \}$$

$$D_3 = \sinh \alpha t - (\gamma/\alpha) \sinh \gamma t - G_3 \{ \sinh \alpha(t-x_1) - (\gamma/\alpha) \sinh \gamma(t-x_1) \} - G_4 \{ \sinh \alpha(t-x_2) - (\gamma/\alpha) \sinh \gamma(t-x_2) \}$$

$$D_4 = \sinh \alpha t - (\gamma/\alpha) \sinh \gamma t - G_2 \{ B_2 \{ \sinh \alpha(t-x_1) - (\gamma/\alpha) \sinh \gamma(t-x_1) \} + B_4 \{ \sinh \alpha(t-x_2) - (\gamma/\alpha) \sinh \gamma(t-x_2) \} \}$$

$$B_1 = \sinh \alpha x_1 - (\gamma/\alpha) \sinh \gamma x_1 - G_1 \{ \sinh \alpha x_1 - (\alpha/\gamma) \sinh \gamma x_1 \}$$

$$B_2 = \sinh \alpha x_1 - (\alpha/\gamma) \sinh \gamma x_1$$

$$B_3 = \sinh \alpha x_2 - (\gamma/\alpha) \sinh \gamma x_2 - G_2 \{ \sinh \alpha x_2 - (\alpha/\gamma) \sinh \gamma x_2 \} - G_3 \{ \sinh \alpha x_1 - (\gamma/\alpha) \sinh \gamma x_1 - G_1 \{ \sinh \alpha x_1 - (\alpha/\gamma) \sinh \gamma x_1 \} \}$$

$$B_4 = \sinh \alpha x_2 - (\alpha/\gamma) \sinh \gamma x_2 - G_2 \{ \sinh \alpha x_2 - (\alpha/\gamma) \sinh \gamma x_2 \} - G_4 \{ \sinh \alpha x_1 - (\gamma/\alpha) \sinh \gamma x_1 \}$$

二の特性方程式を満足させた根 $S = R + iI$ における減衰自由振動における固有振動数 $\omega_{d0}/\omega_0 = p \times (I^2 - R^2)$, 対数減衰率 δ は $\delta = 4\pi RI/(I^2 - R^2)$ で計算される。但し, $S = \pm i\sqrt{pR^2/(1-p^2)}$.

$$p = \sqrt{EI/m^4}, \quad g = Hw\ell^2/EI, \quad \text{等式} 4+3.$$

二の動吸振器による吊橋の振動性状の変化を確かめ, 動吸振器の制振作用をみるため, 実験にて示されたような模型吊橋を作製し, 実験を行った。模型吊橋の補剛形の曲げ剛性 EI は

$$1.09 \times 10^6 \text{ kg.cm}^2, \quad \text{径間長 } l = 700 \text{ cm}, \quad \text{サギ } f = 87 \text{ cm}, \quad \text{ケーブル } L$$

$$\text{の水平反力 } Hw = 328 \text{ kg}, \quad \text{総重量 } 326 \text{ kg} \quad \text{である。動吸振器は。}$$

2台を左右対称に設置した場合と, スパン中央にさら1台を設置し

合計3台の動吸振器を用いた場合の2種類の CASE にて実験を行

た。動吸振器の実効質量は吊橋の全質量の $1/44$ のものを使い、振動

数は、吊橋の各固有振動数に同調出来たよう、パネ係数が可変型のもの

とした。Fig. 2 は 粘性抵抗係数 $c = 0.0105$

kg.s/cm (脇界粘性係数の約 9%) をもつ

動吸振器を左右の支点より $87.5 \text{ cm} (1/8l)$

の補剛形に對称にとりつけた。動吸振器自体の

振動数を殆ど変化させた場合に、吊橋の減衰性状がどのように変化するかを、対数減衰率を用いて示したものである。横軸

は、吊橋に同調した振動数 ω/ω_0 と動吸振器の振動数の比 ω_d/ω_0 である。二の実験値

によれば、動吸振器の振動数は、制振を行なう構造物の振動数に正しく同調させた必要があり、同調が不充分の場合には、制振

作用の効果は著しく低下してしまうことを意味している。Fig. 3 は Fig. 2 の場合における、吊橋本体の振動数が動吸振器の影響をうけたどのように変化したかを示した

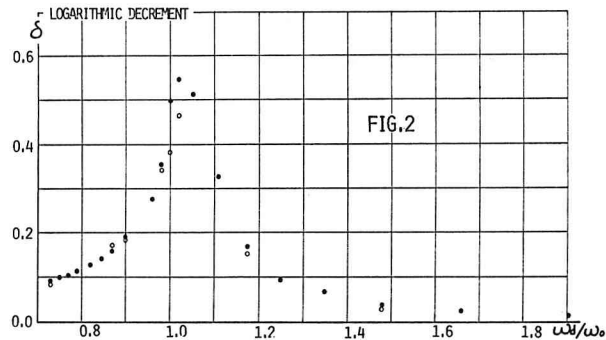


FIG.2

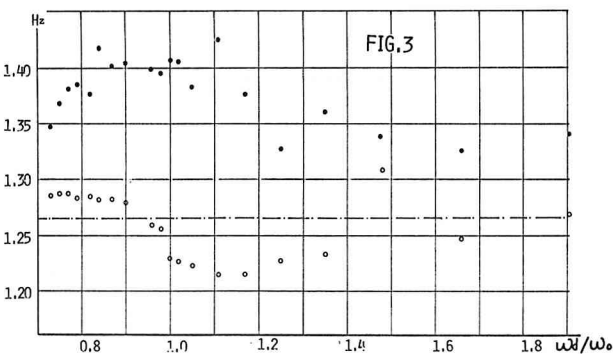


FIG.3

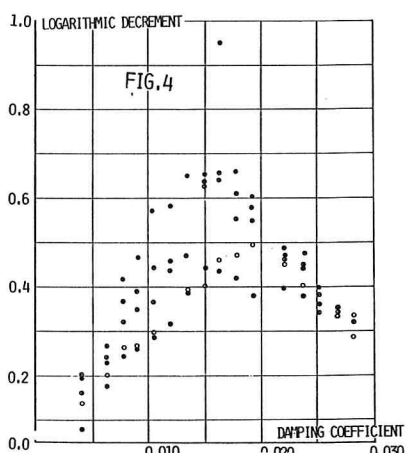


FIG.4

図より、吊橋全体は動吸振器の設置により、元の振動数(二の場合は逆対称一次振動)に類似した 2つの振動数を持つことと示されている。動吸振器の同調がずれ行くほど是處が泣く。Fig. 4 は支点より $175 \text{ cm} (1/4l)$ に設置した場合の粘性係数と対数減衰率の関係を示した実験結果である。○: 1.00, ◎: 0.96, △: 1.05, □: 1.10 の振動数比の場合であり、いずれも最適粘性係数の存在を示している。実験値は全 2. 逆対称一次振動の場合である。本実験は当り東北工学生、小田桐、金重、鈴木、鈴木光 4君の協力を得た。